

УДК 521.1

ИССЛЕДОВАНИЕ ВЕКОВОЙ ЭВОЛЮЦИИ ЦИРКУМБИНАРНЫХ СИСТЕМ НА МОДЕЛЯХ R-ТОРОИДА И КОЛЕЦ ГАУССА

© 2021 г. Б. П. Кондратьев^{1, 2, 3, *}, В. С. Корноухов^{1, 2}

¹ Московский государственный университет им. М.В. Ломоносова, Физический факультет, Москва, Россия

² Московский государственный университет им. М.В. Ломоносова,
Государственный астрономический институт им. П.К. Штернберга, Москва, Россия

³ Главная (Пулковская) астрономическая обсерватория РАН, Санкт-Петербург, Россия

*E-mail: work@boris-kondratyev.ru

Поступила в редакцию 20.02.2021 г.

После доработки 12.03.2021 г.

Принята к публикации 31.03.2021 г.

Разработаны два метода изучения вековой (апсидальной и нодальной) прецессии орбит в циркумбинарных системах, состоящих из двойной звезды и экзопланеты. Первый метод основан на модели из трех R-тороидов и предназначен для исследования прецессии пробных орбит. Для экзосистем Kepler-413 и Kepler-453 найдены взаимная ориентация угловых моментов звездной пары L_{12} и планеты L_p относительно плоскости Лапласа, вычислены отношение $\gamma = \frac{L_{12}}{L_p}$ и зональные гармоники

потенциала R-тороидов. Получены и решены уравнения для частот обоих типов прецессии, установлено доминирующее влияние тороидов звездной пары. Второй метод опирается на модель взаимодействующих колец Гаусса и предназначен для исследования вековой эволюции орбит звезд и планеты самой циркумбинарной системы. Такой подход позволил точно рассчитать периоды нодальной прецессии для звезд и планеты; например, в системе Kepler-413 эти периоды равны, соответственно, $T_1^0 = 11.63 \pm 0.28$ лет, $T_2^0 = 11.39 \pm 0.28$ лет, $T_p^0 = 11.49 \pm 0.28$ лет. Выявлен тонкий эффект влияния планеты на нарушение резонанса 1:1 для периодов нодальной прецессии звезд.

Ключевые слова: циркумбинарные системы, вековые возмущения, эллиптические кольца Гаусса, R-тороид, прецессия и эволюция оскулирующих орбит (для английской версии circumbinary systems, secular perturbations, elliptical Gauss rings, R-toroid, precession and evolution of osculating orbits)

DOI: 10.31857/S0004629921080077

1. ВВЕДЕНИЕ

В работе [1] была разработана модель R-тороида, предназначенная для исследования долгопериодических и вековых возмущений в небесной механике. Эта модель представляет 3D обобщение прецессирующего кольца Гаусса, и метод ее построения сводится к цепочке преобразований: 1D кольцо Гаусса – 2D R-кольцо – 3D R-тороид. В [1] были изучены форма, структура и гравитационный потенциал R-тороида, найдена взаимная энергия W_{mut} R-тороида и внешнего кольца Гаусса; с помощью W_{mut} получена система из шести дифференциальных уравнений, описывающих вековую эволюцию оскулирующих орбит в гравитационном поле R-тороида.

Было установлено, что в Солнечной системе модель R-тороида можно применять для оценки гравитационного влияния планет-гигантов на вековую эволюцию тел в рассеянном диске и в об-

лаке Оорта. Перспективным является применение новой модели для изучения динамики экзопланет, о которых к настоящему времени накопилась огромная наблюдательная информация. В частности, с помощью модели R-тороида в [1] рассчитан профиль частот прецессии пробной орбиты в поле прецессирующей центральной звезды и планеты PTFO 8-8695b (об этой системе см. [2, 3]).

В обширной экзопланетной тематике наиболее актуальным является применение модели R-тороида к изучению эволюции орбит горячих юпитеров с коротким временем нодальной прецессии и циркумбинарных систем. Циркумбинарные системы состоят из тесной пары звезд и двигающейся вокруг них экзопланеты. Изучению движения таких тройных систем (планет с кратными орбитами) посвящено немало работ, см., например, [4–6]. Их важно изучать потому, что

встречающиеся здесь орбитальные конфигурации и трехчастичные гравитационные взаимодействия позволяют проводить прямые и точные измерения масс и радиусов тел.

Данная работа посвящена решению двух задач. В первой исследуется апсидальная и нодальная прецессия пробных орбит в гравитационном поле трех R-тороидов. Во второй задаче методом взаимодействующих колец Гаусса изучается вековая эволюция орбит тел (двух звезд и экзопланеты) самой циркумбинарной системы. Здесь выявлен тонкий эффект нарушения синхронности в вековом движении центральной пары звезд под влиянием планеты.

План статьи следующий. В разделах 2, 3 дана постановка задачи, вводится плоскость Лапласа и находятся углы ориентации и угловые моменты в циркумбинарных системах Kepler-413 и Kepler-453. В подразделах 4.1–4.3 изучается прецессия пробных орбит в суммарном гравитационном поле трех R-тороидов. Применение метода к системе Kepler-413 излагается в подразделе 4.4, а в 4.5 дана сводка результатов для двух систем экзопланет. В разделе 5 через взаимную энергию колец Гаусса изучается эволюция орбит тел самой циркумбинарной системы. Получены уравнения для частоты прецессии линии узлов кольца Гаусса и изучается влияние планеты на нарушение резонанса в вековом движении узлов звездных орбит. Результаты работы обсуждаются в разделе 6.

2. ПОСТАНОВКА ЗАДАЧИ. ПЛОСКОСТЬ ЛАПЛАСА И УГЛЫ ОРИЕНТАЦИИ

Рассмотрим циркумбинарную систему, в которой одна экзопланета движется по внешней (отдаленной) орбите вокруг тесной пары звезд. Для описания движения тел в такой системе следует знать массы и орбитальные параметры двух звезд ($M_1, M_2, a_1, a_2, e_{12}, i_{12}$) и планеты (m, a_p, e_p, i_p). Здесь углы наклонов орбит звезд i_{12} и планеты i_p будем отсчитывать от общей для системы плоскости Лапласа (рис. 1).

Угловой момент орбитального эллиптического движения тела (на единицу массы) в заданной тройной системе запишем в виде

$$L = \sqrt{\mu a(1 - e^2)}, \quad (1)$$

где a и e — большая полуось и эксцентриситет орбиты, $\mu = GM$ — аналог гравитационного параметра тела. Если начало координат находится в центре масс двойной звезды (принимается усло-

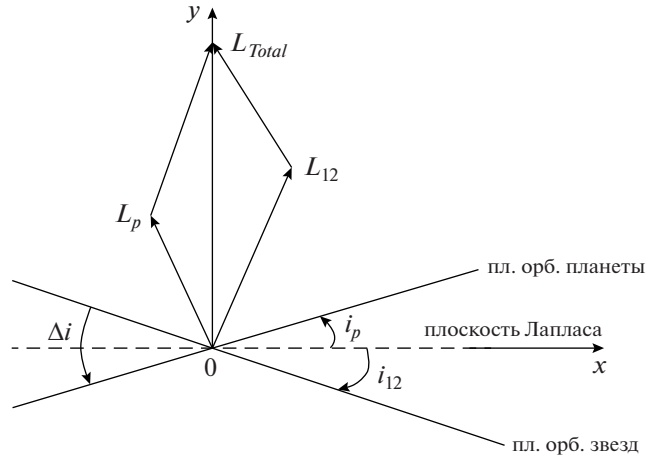


Рис. 1. Схема векторов угловых орбитальных моментов в циркумбинарной системе. Штрихами показана плоскость Лапласа.

вие $m \ll M_1 + M_2$), то отмеченные верхней чертой величины \bar{M} равны:

$$\begin{aligned} \bar{M}_1 &= \frac{M_2^3}{(M_1 + M_2)^2}; \\ \bar{M}_2 &= \frac{M_1^3}{(M_1 + M_2)^2}. \end{aligned} \quad (2)$$

Через величины \bar{M} из (2) орбитальный угловой момент звездной пары равен

$$L_{12} = M_1 \sqrt{G \bar{M}_1 a_1 (1 - e_{12}^2)} + M_2 \sqrt{G \bar{M}_2 a_2 (1 - e_{12}^2)}, \quad (3)$$

где полуоси орбит каждой звезды (с фокусом в общем центре масс) связаны очевидными соотношениями

$$\begin{aligned} a_1 + a_2 &= a_{12}, \\ a_1 M_1 &= a_2 M_2. \end{aligned} \quad (4)$$

Тогда угловой орбитальный момент планеты массой m будет равен

$$L_p = m \sqrt{G(M_1 + M_2) a_p (1 - e_p^2)}. \quad (5)$$

Рассмотрим в данной системе плоскость Лапласа. По определению, эта плоскость должна быть нормальна вектору полного орбитального углового момента системы $\mathbf{L}_{Total} = \mathbf{L}_{12} + \mathbf{L}_p$. В заданных декартовых координатах (рис. 1) проекции векторов угловых моментов на оси Oxy будут равны (см. также [7]):

$$\begin{aligned} L_{12}^{(x)} &= L_{12} \cos\left(\frac{\pi}{2} - i_{12}\right) = L_{12} \sin i_{12}, \\ L_{12}^{(y)} &= L_{12} \sin\left(\frac{\pi}{2} - i_{12}\right) = L_{12} \cos i_{12}; \end{aligned} \quad (6)$$

$$\begin{aligned} L_p^{(x)} &= L_p \cos\left(\frac{\pi}{2} + i_p\right) = -L_p \sin i_p, \\ L_p^{(y)} &= L_p \sin\left(\frac{\pi}{2} + i_p\right) = L_p \cos i_p, \end{aligned} \quad (7)$$

где i_p и i_{12} – вспомогательные углы наклона плоскостей орбит планеты и звезд к плоскости Лапласа. Указанное выше условие перпендикулярности плоскости Лапласа вектору L_{Total} выполняется, если

$$L_p \sin i_p = L_{12} \sin i_{12}. \quad (8)$$

Таким образом, для вспомогательных углов i_p и i_{12} получим систему двух уравнений

$$\begin{aligned} \frac{\sin i_p}{\sin i_{12}} &= \frac{L_{12}}{L_p} = \gamma, \\ i_p + i_{12} &= \Delta i. \end{aligned} \quad (9)$$

Две формулы (9) можно объединить в одну и выразить наклон плоскости орбит двойной звезды i_{12} к плоскости Лапласа через Δi

$$i_{12} = \arctan \frac{\sin \Delta i}{\gamma + \cos \Delta i}. \quad (10)$$

В итоге, согласно формулам (3) и (5), отношение угловых орбитальных моментов двойной звезды и планеты в циркумбинарной системе будет равно

$$\gamma = \frac{L_{12}}{L_p} = \sqrt{\frac{1 - e_{12}^2}{1 - e_p^2}} \left[\frac{M_1 \sqrt{M_1 a_1} + M_2 \sqrt{M_2 a_2}}{m \sqrt{(M_1 + M_2) a_p}} \right]. \quad (11)$$

3. ПРИМЕРЫ: СИСТЕМЫ KEPLER-413 И KEPLER-453

Согласно [8], для системы Kepler-413 известно следующее: массы двух звезд и планеты равны $M_1 = 0.820 \pm 0.015 M_\odot$, $M_2 = 0.542 \pm 0.008 M_\odot$, $m = (67 \pm 21) M_{\text{Earth}}$ (как видим, масса планеты известна весьма приближенно); полуоси орбит $a_{12} = 0.10148 \pm 0.00057$ а.е., $a_p = 0.355 \pm 0.002$ а.е.; эксцентриситеты $e_{12} = 0.0365 \pm 0.0023$ (орбиты звезд почти круговые), $e_p = 0.1181 \pm 0.0018$; угол между плоскостью орбиты планеты и плоскостью орбит звезд $\Delta i = 4^\circ 073 \pm 0^\circ 113$.

По формуле (11), с учетом данных наблюдений для Kepler-413 находим отношение суммарного орбитального углового момента пары звезд к орбитальному угловому моменту планеты

$$\gamma = \frac{L_{12}}{L_p} \approx 873. \quad (12)$$

Таблица 1. Параметры для циркумбинарных систем Kepler-413 из [8] и Kepler-453 из [9]

Система	Kepler-413	Kepler-453
$M_1 [M_\odot]$	0.820 ± 0.015	0.944 ± 0.010
$M_2 [M_\odot]$	0.542 ± 0.008	0.1951 ± 0.0020
a_{12} [a.e.]	0.10148 ± 0.00057	0.18539 ± 0.00066
e_{12}	0.0365 ± 0.0023	0.0524 ± 0.0037
$i'_{12} [^\circ]$	87.332 ± 0.050	90.266 ± 0.052
$\omega_{12} [^\circ]$	279.74 ± 0.62	263.05 ± 0.48
$M_p [M_{\text{Earth}}]$	67 ± 21	0.2 ± 16.0
a_p [a.e.]	0.355 ± 0.002	0.7903 ± 0.0028
e_p	0.1181 ± 0.0018	0.0359 ± 0.0088
$i'_p [^\circ]$	89.929 ± 0.024	89.4429 ± 0.0091
$\omega_p [^\circ]$	94.6 ± 2.2	185.1 ± 3.7
$\Delta\Omega_p [^\circ]$	3.139 ± 0.080	2.103 ± 0.055
$\Delta i [^\circ]$	4.073 ± 0.113	2.258 ± 0.039

Поэтому для Kepler-413 по формуле (10) находим показанные на рис. 1 углы наклонов

$$\begin{aligned} i_{12} &= 0^\circ 0047 \pm 0.0015, \\ i_p &= 4^\circ 07 \pm 0.11. \end{aligned} \quad (13)$$

Довольно большое значение $\gamma = L_{12}/L_p$ из (12) объясняется тем, что в числителе стоит величина орбитального (а не спинового) углового момента звезд. Доминирующий характер углового момента звездной пары в системе Kepler-413 виден и в малом значении угла $i_{12} \approx 0^\circ 005$ из (13).

Данные о второй циркумбинарной системе Kepler-453 были взяты из работы Welsh et al. [9] и приводятся в табл. 1. Здесь мы сталкиваемся с одной особенностью: массы звезд известны с хорошей точностью $M_1 = 0.944 \pm 0.010 M_\odot$, $M_2 = 0.1951 \pm 0.0020 M_\odot$, однако масса планеты Kepler-453b известна очень плохо. Полуоси орбит звезд и планеты равны $a_{12} = 0.18539 \pm 0.00066$ а.е., $a_p = 0.7903 \pm 0.0028$ а.е., причем эти орбиты почти круговые $e_{12} = 0.0524 \pm 0.0037$, $e_p = 0.0359 \pm 0.0088$. Угол взаимного наклона плоскости орбиты планеты и орбит звезд составляет $\Delta i = 2^\circ 258 \pm 0^\circ 039$. Минимальное значение полуоси круговой орбиты в Kepler-453 $a_{\text{cr}} \approx 24$ а.е.

По формулам (10) и (11) для системы Kepler-453 находим

$$\begin{aligned} \gamma &\approx 1628.9; \\ i_{12} &= 0^\circ 00002 \pm 0.00139, \\ i_p &= 2^\circ 26 \pm 0.04. \end{aligned} \quad (14)$$

Заметим, что в силу указанной выше некомпланарности орбит звезд и планеты относительно плоскости Лапласа, орбиты всех трех тел будут взаимно прецессировать. Эту прецессию мы рассматриваем в разделе 4. Появляющийся при этом тонкий эффект нарушения резонанса в периодах прецессии звезд обсуждается в разделах 5 и 6.

4. УРАВНЕНИЯ ВЕКОВОЙ ПРЕЦЕССИИ ПРОБНОЙ ОРБИТЫ

4.1. Зональные гармоники потенциала

Как показано в [1], зональные гармоники внешнего потенциала R-тороида равны

$$C_{20}^R = -\frac{1}{2} \left(1 + \frac{3}{2} e_R^2 \right) \frac{3 \cos^2 i_R - 1}{2}; \quad (15)$$

$$C_{40}^R = \frac{3}{8} \left(1 + 5e_R^2 + \frac{15}{8} e_R^4 \right) \frac{35 \cos^4 i_R - 30 \cos^2 i_R + 3}{8}.$$

Здесь e_R , i_R , соответственно, — эксцентриситет и наклон орбиты к плоскости Лапласа того тела, для которого создается модель R-тороида.

Для Kepler-413 расчет по формулам (15) с учетом найденных углов (13) и известных эксцентриситетов орбит дает следующие значения коэффициентов зональных гармоник потенциала

$$C_{20}^{(1)} = C_{20}^{(2)} = -0.5010 \pm 0.0001;$$

$$C_{40}^{(1)} = C_{40}^{(2)} = 0.3775 \pm 0.0003;$$

$$C_{20}^p = -0.5066 \pm 0.0003;$$

$$C_{40}^p = 0.3912 \pm 0.0010.$$

Для другой циркумбинарной системы Kepler-453, коэффициенты потенциалы были также рассчитаны и приводятся в табл. 2.

4.2. Прецессия пробных орбит в гравитационном поле R-тороида

Согласно [1], скорость прецессии линии узлов и линии апсид пробной орбиты под влиянием R-тороида описывается дифференциальными уравнениями

$$\left(\frac{d\Omega}{dt} \right)_R = \dot{\Omega}_R^0 \left(\frac{a_R}{a} \right)^{7/2} \frac{\cos i}{(1-e^2)^2}; \quad (17)$$

$$\left(\frac{d\omega}{dt} \right)_R = \dot{\omega}_R^0 \left(\frac{a_R}{a} \right)^{7/2} \frac{5 \cos^2 i - 1}{4(1-e^2)^2}, \quad (18)$$

где используются коэффициенты

$$\dot{\Omega}_R^0 = \frac{3}{2} C_{20}^R \frac{m_R}{M_R} \sqrt{\frac{GM_R}{a_R^3}}, \quad \dot{\omega}_R^0 = -2\dot{\Omega}_R^0, \quad (19)$$

Таблица 2. Рассчитанные по формулам (10), (11) и (15) коэффициенты 2-й и 4-й зональных гармоник R-тороидов звезд $C_{20}^1, C_{20}^2, C_{40}^1, C_{40}^2$ и планеты C_{20}^p, C_{40}^p . Далее представлены величины $\dot{\Omega}_R^0$ пробной планеты от отдельного тороида, где индекс $R = \{1, 2, p\}$; скорости прецессии линии узлов и линии апсид пробной планеты от всех тороидов $\dot{\Omega}_{12p}^0, \dot{\omega}_{12p}^0$; соответствующие периоды прецессии $(T_\Omega^{12p})_0$ и $(T_\omega^{12p})_0$. Все расчеты сделаны для вырожденного случая нулевых эксцентриситетов и наклона орбиты. Даны также наклоны орбитальных моментов звездной пары и планеты к суммарному угловому моменту i_{12} и i_p

Система	Kepler-413	Kepler-453
C_{20}^1, C_{20}^2	-0.5010 ± 0.0001	-0.5021 ± 0.0003
C_{40}^1, C_{40}^2	0.3775 ± 0.0003	0.3802 ± 0.0007
C_{20}^p	-0.5066 ± 0.0003	-0.4998 ± 0.0005
C_{40}^p	0.3912 ± 0.0010	0.3745 ± 0.0012
$\dot{\Omega}_1^0 [10^{-10} \text{ c}^{-1}]$	-6.83 ± 0.09	-18.86 ± 0.15
$\dot{\Omega}_2^0 [10^{-10} \text{ c}^{-1}]$	-5.55 ± 0.08	-8.58 ± 0.10
$\dot{\Omega}_p^0 [10^{-10} \text{ c}^{-1}]$	-0.03 ± 0.01	-0.0005 ± 0.0420
$\dot{\Omega}_{12p}^0 [10^{-9} \text{ c}^{-1}]$	-1.24 ± 0.02	-2.74 ± 0.02
$\dot{\omega}_{12p}^0 [10^{-9} \text{ c}^{-1}]$	2.48 ± 0.03	5.49 ± 0.05
$(T_\Omega^{12p})_0$ [лет]	160 ± 2	72.6 ± 0.6
$(T_\omega^{12p})_0$ [лет]	80 ± 1	36.3 ± 0.3
$i_{12} [^\circ]$	0.0047 ± 0.0015	0.00002 ± 0.00139
$i_p [^\circ]$	4.07 ± 0.11	2.26 ± 0.04

равные частотам прецессии линии узлов и линии апсид пробной планеты под влиянием каждого из трех тороидов в вырожденном случае ($a = 1$ а.е., $e = 0$, $i = 0^\circ$).

4.3. Прецессия пробных орбит в гравитационном поле трех R-тороидов

Напомним, что в данной работе для циркумбинарной системы рассматривается совокупность трех моделей R-тороида (для двух звезд и для планеты). Рассмотрим суммарное влияние силовых полей этих трех тороидов на прецессию пробных орбит. Прежде всего, для введенных выше коэффициентов можно написать уравнения

$$\dot{\Omega}_{12p}^0 = \dot{\Omega}_1^0 + \dot{\Omega}_2^0 + \dot{\Omega}_p^0; \quad \dot{\omega}_{12p}^0 = -2\dot{\Omega}_{12p}^0; \quad (20)$$

$$(T_\Omega^{12p})_0 = \frac{2\pi}{\left| \left(\frac{d\Omega}{dt} \right)_{12p}^0 \right|}; \quad (T_\omega^{12p})_0 = \frac{1}{2} T_\Omega^{12p}. \quad (21)$$

Следовательно, периоды узловой и апсидальной прецессии пробной планеты под влиянием трех тороидов будут равны

$$T_{\Omega}^{12p} = (T_{\Omega}^{12p})_0 \left(\frac{a}{1 \text{ а.е.}} \right)^{7/2} \frac{(1-e^2)^2}{\cos i}; \quad (22)$$

$$T_{\omega}^{12p} = (T_{\omega}^{12p})_0 \left(\frac{a}{1 \text{ а.е.}} \right)^{7/2} \frac{4(1-e^2)^2}{5\cos^2 i - 1}. \quad (23)$$

Из формул (22) и (23) находим отношение периодов нодальной и апсидальной прецессии для пробной орбиты (или же представляющего ее оскулирующего кольца Гаусса)

$$\frac{T_{\Omega}^{12p}}{T_{\omega}^{12p}} = -\frac{5\cos^2 i - 1}{2\cos i} \approx -2 \left(1 - \frac{3}{4}i^2 + O(i^6) \right). \quad (24)$$

Из (24) следует, что модуль отношения периодов нодальной и апсидальной прецессии для внешнего кольца Гаусса, имеющего малый наклон i и находящегося в гравитационном поле R-тороида, оказывается чуть меньше 2:

$$\left| \frac{T_{\Omega}^*}{T_{\omega}^*} \right| \leq 2. \quad (25)$$

Результат (25) подтвержден при моделировании экзопланеты KOI 120.01 [10].

Прецессия при больших углах наклона пробных орбит здесь не рассматривается.

4.4. Расчет прецессии орбиты пробной планеты в системе Kepler-413

В системе Kepler-413 значения больших полуосей пробных орбит в поле R-тороидов двойной звезды ограничены снизу $a > a_{cr} \approx 5.48$ а.е., а на таких расстояниях вкладом 4-й зональной гармоники из (16) можно пренебречь. Учитывая это, вклады в прецессию линии узлов пробной орбиты от обеих звезд и планеты Kepler-413b с учетом погрешностей входных величин представим уравнениями:

$$\begin{aligned} \left(\frac{d\Omega}{dt} \right)_1 &= - \left[(6.83 \pm 0.09) \times 10^{-10} \frac{\text{рад}}{\text{с}} \right] \times \\ &\quad \times \left(\frac{1 \text{ а.е.}}{a} \right)^{7/2} \frac{\cos i}{(1-e^2)^2}; \\ \left(\frac{d\Omega}{dt} \right)_2 &= - \left[(5.55 \pm 0.08) \times 10^{-10} \frac{\text{рад}}{\text{с}} \right] \times \\ &\quad \times \left(\frac{1 \text{ а.е.}}{a} \right)^{7/2} \frac{\cos i}{(1-e^2)^2}; \end{aligned} \quad (26)$$

$$\begin{aligned} \left(\frac{d\Omega}{dt} \right)_p &= - \left[(0.03 \pm 0.01) \times 10^{-10} \frac{\text{рад}}{\text{с}} \right] \times \\ &\quad \times \left(\frac{1 \text{ а.е.}}{a} \right)^{7/2} \frac{\cos i}{(1-e^2)^2}. \end{aligned}$$

Из (26) видно, что вклад в прецессию узла от R-тороида планеты Kepler-413b составляет только $\approx 0.3\%$ от вклада тороидов звездной пары. Фактически, вклад планеты теряется на уровне погрешности вкладов от тороидов звезд.

Складывая первое и второе выражения в (26), находим суммарное влияние R-тороидов звездной пары на прецессии линии узлов и линии апсид пробной орбиты:

$$\begin{aligned} \left(\frac{d\Omega}{dt} \right)_{12p} &= - \left[(1.242 \pm 0.016) \times 10^{-9} \frac{\text{рад}}{\text{с}} \right] \times \\ &\quad \times \left(\frac{1 \text{ а.е.}}{a} \right)^{7/2} \frac{\cos i}{(1-e^2)^2}; \\ \left(\frac{d\omega}{dt} \right)_{12p} &= \left[(2.484 \pm 0.032) \times 10^{-9} \frac{\text{рад}}{\text{с}} \right] \times \\ &\quad \times \left(\frac{1 \text{ а.е.}}{a} \right)^{7/2} \frac{5\cos^2 i - 1}{4(1-e^2)^2}. \end{aligned} \quad (27)$$

Соответственно, периоды нодальной и апсидальной прецессии для пробной орбиты в системе Kepler-413 будут равны

$$\begin{aligned} T_{\Omega}^{12p} &= [(160 \pm 2) \text{ лет}] \left(\frac{a}{1 \text{ а.е.}} \right)^{7/2} \frac{(1-e^2)^2}{\cos i}; \\ T_{\omega}^{12p} &= [(80 \pm 1) \text{ лет}] \left(\frac{a}{1 \text{ а.е.}} \right)^{7/2} \frac{4(1-e^2)^2}{5\cos^2 i - 1}. \end{aligned} \quad (28)$$

На рис. 2 (левая панель) показан график зависимости периода прецессии аргумента перицентра пробной орбиты от значения полуоси этой орбиты для системы Kepler-413. Минимальное значение большой полуоси пробной планеты (при котором модель R-тороида еще применима) находится по формуле

$$a_{cr} = \left(\frac{\mu}{4\pi^2} \right)^{1/3} T_{\Omega}^{2/3}. \quad (29)$$

В частности, для данной в [8] величины $T_{\Omega} = 11$ лет ниже значение полуоси круговой орбиты равно $a_{cr} = 5.48$ а.е., причем период прецессии аргумента перицентра будет равен $T_{\omega}|_{e=0} = (30.8 \pm 0.4) \times 10^3$ лет. Для системы Kepler-413 на рис. 3 (левая панель) построен график для периода нодальной прецессии от полуоси орбиты пробной планеты. При $a_{cr} = 5.48$ а.е. период прецессии вос-

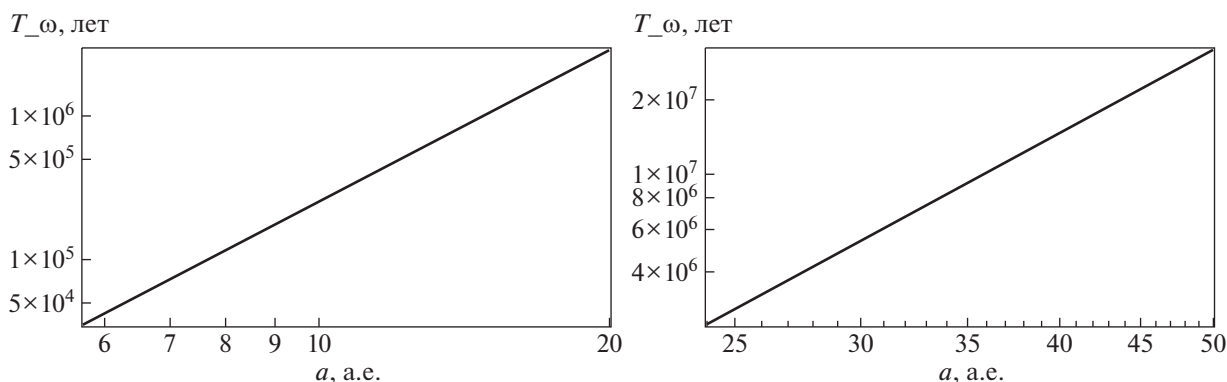


Рис. 2. Графики зависимости периода прецессии аргумента перицентра орбиты пробной планеты $T_{\omega}^{12p}(a)|_{e=0, i=0}$, измеряемого в годах, от ее полуоси в астрономических единицах, в вырожденном случае $e = 0$ и $i = 0$. График слева – для системы Керлер-413, справа – для системы Керлер-453. Для наглядности графики представлены в логарифмической шкале по обеим осям. В системе Керлер-413 для крайнего значения полуоси круговой орбиты $a_{cr} = 5.48$ а.е. период апсидальной прецессии равен $T_{\omega}|_{e=0, i=0} = (30.8 \pm 0.4) \times 10^3$ лет.

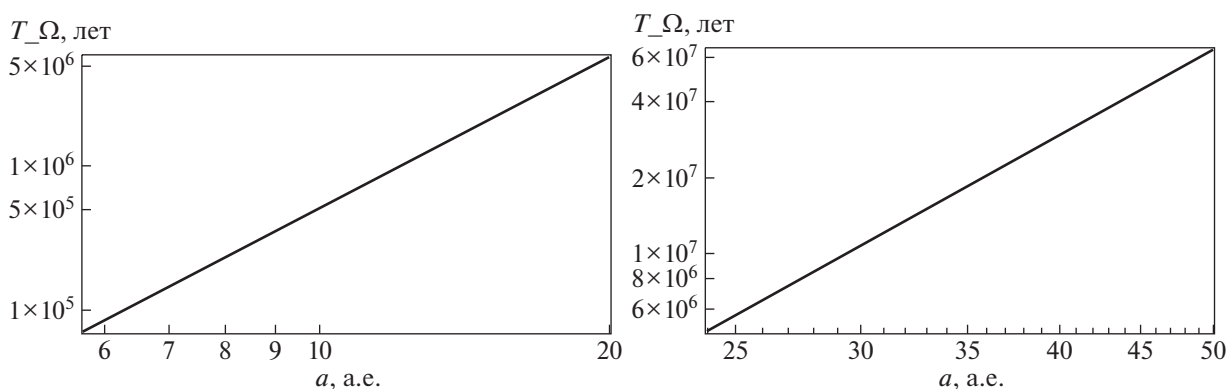


Рис. 3. Графики зависимости периода прецессии долготы восходящего узла орбиты пробной планеты $T_{\Omega}^{12p}(a)|_{e=0, i=0}$, измеряемого в годах, от ее полуоси, измеряемой в астрономических единицах, в вырожденном случае $e = 0$ и $i = 0$. График (в логарифмической шкале по обеим осям) слева – для системы Керлер-413, справа – для системы Керлер-453.

ходящего узла равен $T_{\Omega}|_{e=0, i=0} = (61.6 \pm 0.8) \times 10^3$ лет, т.е. в два раза больше, как и должно быть (см. равенство (21)), чем $T_{\omega}|_{e=0, i=0}$.

4.5. Сводка результатов для двух экзосистем

Все необходимые данные для циркумбинарных систем Kepler-413 из [8] и Kepler-453 (Welsh et al. 2015) из [9] представлены в табл. 1. Все необходимые величины, рассчитанные указанным выше методом по формулам (10), (11), (15) и (20–23), даны в табл. 2.

Рассчитаем теперь по формулам (27) и (28) периоды прецессии пробной планеты в зависимости от большой полуоси орбиты в случае нулевых эксцентриситета и наклона орбиты к главной плоскости ($a = a_{cr}$, $e = 0$, $i = 0^\circ$).

Графики на рис. 2 и 3 построены от критического (наименьшего возможного в модели) значения полуоси пробной планеты a_{cr} . Для системы Kepler-413 имеем оценку периода апсидальной прецессии $T_{\omega}^{12p} = (35.4 \pm 0.4) \times 10^3$ лет, а для периода прецессии долготы восходящего узла $T_{\Omega}^{12p} = (70.7 \pm 0.8) \times 10^3$ лет. Для системы Kepler-

453, соответственно, находим $T_{\omega}^{12p} = (2.2 \pm 0.2) \times 10^6$ лет и $T_{\Omega}^{12p} = (4.4 \pm 0.4) \times 10^6$ лет.

5. ВЫЧИСЛЕНИЕ ПЕРИОДОВ ВЕКОВОЙ ПРЕЦЕССИИ ОРБИТ ТРЕХ ТЕЛ В ЦИРКУМБИНАРНОЙ СИСТЕМЕ МЕТОДОМ КОЛЕЦ ГАУССА

Выше рассматривалась вековая эволюция пробных орбит, теперь рассмотрим эволюцию орбит звезд центральной пары и экзопланеты самой циркумбинарной системы. Для этого циркумбинарную систему представим совокупностью трех взаимодействующих колец Гаусса.

5.1. Уравнения для частот прецессии колец Гаусса

Метод взаимодействующих колец Гаусса был разработан в статье [11]. Здесь мы используем формулы этого метода и ограничимся точностью до квадратов малых наклонов и эксцентриситетов. Вначале запишем уравнение для частоты прецессии линии узлов второго кольца Гаусса в системе координат, где главной плоскостью является плоскость первого кольца (индекс 1 относится к орбите звезды, а индекс 2 – к орбите планеты):

$$\frac{d\Omega_2}{dt} = -\frac{Gm_1}{8\pi a_1^3 n_2 n^3 (1+n)(1-n^2)^2} \times [\Omega_{000}^{(2)} + \Omega_{002}^{(2)} \Delta i^2 + \Omega_{200}^{(2)} e_1^2 + \Omega_{020}^{(2)} e_2^2 + \Omega_{110}^{(2)} e_1 e_2], \quad (30)$$

где коэффициенты

$$\Omega_{002}^{(2)} = \left(\frac{(1+n^2)(1-4n+n^2)(1+4n+n^2)}{(1-n)^2} \times E(k) - (1-5n^2+n^4)K(k) \right) n; \quad (30.1)$$

$$\Omega_{200}^{(2)} = \left(\frac{1+21n^2+47n^4+3n^6}{(1-n)^2} E(k) - (1+5n^2+3n^4)K(k) \right) n - \left(\frac{1-3n^2+23n^4+3n^6}{(1-n)^2} E(k) - (1-n^2+3n^4)K(k) \right) 2n \cos^2 \omega_1; \quad (30.2)$$

$$\Omega_{110}^{(2)} = \left(\frac{4-15n^2-26n^4-15n^6+4n^8}{(1-n)^2} E(k) -$$

$$- (4-11n^2+4n^4)(1+n^2)K(k) \right) \cos \omega_1 \cos \omega_2 + \left(\frac{4-21n^2-110n^4-21n^6+4n^8}{(1-n)^2} E(k) -$$

$$- (4-n^2)(1-4n^2)(1+n^2)K(k) \right) \sin \omega_1 \sin \omega_2; \quad (30.3)$$

$$\Omega_{020}^{(2)} = \left(\frac{5+45n^2+19n^4+3n^6}{(1-n)^2} E(k) - (5+n^2+3n^4)K(k) \right) n - \left(\frac{3+23n^2-3n^4+n^6}{(1-n)^2} E(k) - (3-n^2+n^4)K(k) \right) 2n \cos^2 \omega_2; \quad (30.4)$$

$$\Omega_{000}^{(2)} = \left(\frac{1+n^2}{(1-n)^2} E(k) - K(k) \right) 4n(1-n^2)^2. \quad (30.5)$$

Здесь: m_1 – масса, a_1 – большая полуось, e_1 – эксцентриситет, ω_1 – аргумент перицентра первого (возмущающего) кольца Гаусса; индекс 2 относится ко второму кольцу Гаусса со средним движением n_2 ; Δi – угол взаимного наклона колец Гаусса; $K(k)$ и $E(k)$ – полные эллиптические интегралы Лежандра первого и второго рода; кроме того,

$$k = \frac{2\sqrt{a_1 a_2}}{a_1 + a_2} = \frac{2\sqrt{n}}{1+n} \leq 1, \quad n = \frac{a_2}{a_1}. \quad (30.6)$$

На втором этапе следует учесть поправки к аргументам перицентров при переходе от картинной плоскости к плоскости первого кольца. Тогда из сферического треугольника ABC , показанного на рис. 4, находим требуемые величины $\Delta \bar{\omega}_{12}$ и $\Delta \bar{\omega}_p$:

$$\sin(\Delta \bar{\omega}_{12}) = \frac{\sin i'_p \sin(\Delta \Omega_p)}{\sin(\Delta i)}; \quad \cos(\Delta \bar{\omega}_{12}) = \frac{-\sin i'_{i_2} \cos i'_p + \cos i'_{i_2} \sin i'_p \cos(\Delta \Omega_p)}{\sin(\Delta i)}; \quad (31.1)$$

$$\sin(\Delta \bar{\omega}_p) = \frac{\sin i'_{i_2} \sin(\Delta \Omega_p)}{\sin(\Delta i)}; \quad \cos(\Delta \bar{\omega}_p) = \frac{\sin i'_p \cos i'_{i_2} - \cos i'_p \sin i'_{i_2} \cos(\Delta \Omega_p)}{\sin(\Delta i)}. \quad (31.2)$$

Наконец, на третьем этапе преобразований мы пренебрегаем малым влиянием планеты и переходим к плоскости Лапласа звездных колец Гаусса. Из геометрических соображений ясно, что

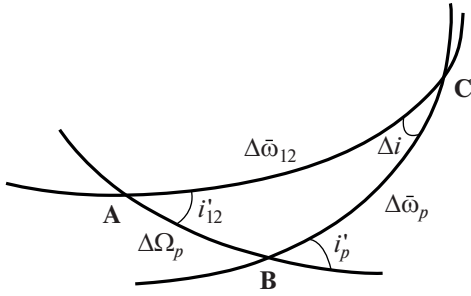


Рис. 4. Сферический треугольник при переходе от системы координат, связанных с картинной плоскостью AB . Здесь Δi – угол между плоскостью колец Гаусса звездной пары AC и плоскостью кольца планеты BC ; $\Delta\Omega_p$ – разность долгот восходящих узлов колец Гаусса в картинной плоскости; i'_{12} и i'_p – наклонения, соответственно, звездного и планетного колец Гаусса к картинной плоскости; $\Delta\bar{\omega}_{12}$ ($\Delta\bar{\omega}_p$) – угол между линией узлов звездного (планетного) кольца в картинной плоскости и общей линией узлов двух колец. Плоскость Лапласа проходит через точку C .

плоскость Лапласа двух колец Гаусса проходит через их общую линию узлов (на рис. 4 плоскость Лапласа проходит через точку C). Для упрощения очень сложных расчетов в выбранной модели за начальный момент времени берется тот, с которого начинает действовать возмущение от планеты. Другими словами, до этого начального момента орбиты звезд мы считаем лежащими в одной плоскости (на рис. 4 эта плоскость проходит через дугу AC), не прецессирующими и с одинаковыми периодами движения звезд по ним.

Скорость узловой прецессии второго кольца (отметим ее верхним индексом L) относительно неподвижной плоскости Лапласа будет выражаться через прежнюю $\frac{d\Omega_2}{dt}$ формулой (30) (см. [10])

$$\frac{d\Omega_2^L}{dt} = \frac{\sin \Delta i}{\sin i_2^L} \frac{d\Omega_2}{dt}. \quad (32)$$

Учитывая, что в системах Kepler-413 и Kepler-453 орбиты звезд полагаются лежащими в одной плоскости, уравнение (32) для орбиты планеты и двух звезд на начальный момент времени можно представить в виде (индекс L можно опустить)

$$\begin{aligned} & \left(\frac{d\Omega_p}{dt} \right)_0 = \frac{\sin \Delta i}{\sin i_p} \times \\ & \times \left(\frac{d\Omega_2}{dt} \left(a_1 = a_1, e_1 = e_{12}, \omega_1 = \omega_{12} - \Delta\bar{\omega}_{12}, \right) + \right. \\ & \left. + \frac{d\Omega_2}{dt} \left(a_1 = a_2, e_1 = e_{12}, \omega_1 = \omega_{12} - \Delta\bar{\omega}_{12} - \pi, \right) \right); \end{aligned} \quad (33)$$

$$\begin{aligned} & \left(\frac{d\Omega_1}{dt} \right)_0 = \frac{\sin \Delta i}{\sin i_{12}} \times \\ & \times \frac{d\Omega_2}{dt} \left(a_1 = a_p, e_1 = e_p, \omega_1 = \omega_p - \Delta\bar{\omega}_p, \right); \end{aligned} \quad (34)$$

$$\begin{aligned} & \left(\frac{d\Omega_2}{dt} \right)_0 = \frac{\sin \Delta i}{\sin i_{12}} \times \\ & \times \frac{d\Omega_2}{dt} \left(a_1 = a_p, e_1 = e_p, \omega_1 = \omega_p - \Delta\bar{\omega}_p, \right. \\ & \left. a_2 = a_2, e_2 = e_{12}, \omega_2 = \omega_{12} - \Delta\bar{\omega}_{12} - \pi \right), \end{aligned} \quad (35)$$

где учтено, что аргументы перицентров отсчитываются от общей линии узлов для орбит звезд, а не от линий узлов, расположенных в картинной плоскости, с помощью формул (31.1), (31.2), а также учтено, что аргументы перицентров орбит звезд отстоят друг от друга на π радиан.

Подчеркнем, что формулы (33)–(35) выражают принятые выше условия: на кольцо Гаусса внешней планеты действует гравитация обоих звездных колец Гаусса, а на кольцо Гаусса каждой из звезд возмущающее влияние оказывает только кольцо планеты. Другими словами, в данном подходе кольца Гаусса каждой звезды не оказывают возмущающего влияния друг на друга, так как в данной задаче трех тел орбиты звезд на начальный момент времени представлены орбитами синхронной пары, а такие орбиты (кольца) не должны возмущать друг друга.

5.2. Периоды прецессии орбит звезд и планеты в циркумбинарной системе. Эффект малого отклонения от резонанса

Прежде всего периоды нодальной прецессии колец Гаусса циркумбинарной системы в начальный момент времени, соответственно, равны

$$T_p^0 = \frac{2\pi}{\left| \left(\frac{d\Omega_p}{dt} \right)_0 \right|}; \quad T_1^0 = \frac{2\pi}{\left| \left(\frac{d\Omega_1}{dt} \right)_0 \right|}; \quad T_2^0 = \frac{2\pi}{\left| \left(\frac{d\Omega_2}{dt} \right)_0 \right|}. \quad (36)$$

Минимальное значение большой полуоси планеты (при котором модель R-тороида еще применима) находится по формуле (29) при подстановке уточненных значений T_1^0 и T_2^0 .

Рассчитаем теперь начальные периоды прецессии линий узлов орбит двух звезд и планеты, а также минимальные значения больших полуосей орбиты пробной планеты по формуле (36) и по уточненной формуле (30) (табл. 3.)

Подставляя в формулы (36) известные нам значения величин, получим периоды нодальной прецессии для планет в системах Kepler-413 и Kepler-453, а также отношения этих периодов, см.

Таблица 3. Оценки начальных периодов прецессии линий узлов орбит звезд и планеты в плоскости Лапласа, отношений этих периодов и минимальной большой полуоси для орбиты пробной планеты

Система	Kepler-413	Kepler-453
T_p^0 [лет]	11.49 ± 0.28 (11.47 ± 0.28)	105 ± 2 (106 ± 2)
T_1^0 [лет]	11.63 ± 0.28 (11.76 ± 0.28)	112 ± 2 (112 ± 2)
T_2^0 [лет]	11.39 ± 0.28 (11.28 ± 0.28)	104 ± 2 (104 ± 2)
T_p^0/T_1^0	0.988 ± 0.001 (0.975 ± 0.001)	0.942 ± 0.002 (0.945 ± 0.001)
T_p^0/T_2^0	1.008 ± 0.001 (1.017 ± 0.001)	1.0120 ± 0.0002 (1.0114 ± 0.0001)
T_1^0/T_2^0	1.021 ± 0.002 (1.043 ± 0.002)	1.074 ± 0.001 (1.070 ± 0.001)
a_{cr} [a.e.]	5.7	24

В круглых скобках указан вариант оценок, соответствующий преобразованию $\omega_{12} \rightarrow \omega_{12} - \pi$.

табл. 3. Обратим внимание на то, что для обеих экзосистем выполняются строгие неравенства

$$T_1^0 > T_p^0 > T_2^0. \quad (37)$$

Для пояснения неравенств (37) заметим следующее. Если при построении плоскости Лапласа пренебречь малым влиянием кольца Гаусса от планеты, то вместо (37) выполнялись бы строгие равенства $T_1^0 = T_2^0 = 0$ (прецессии узлов вообще бы не было). Действительно, без влияния планеты орбиты звезд всегда лежали бы строго в одной плоскости, а движение по этим орбитам происходило бы синхронно с резонансом 1:1. Но под влиянием в начальный момент времени притяжения планеты центр масс звездной пары и направления двух линий апсид немного сместятся относительно прежних положений; при этом орбиты звезд станут некомпланарными и появится вековая прецессия узлов этих орбит с периодами, немного различающимися между собой. Очевидно, что смещенный (относительно барицентра системы трех тел) центр масс пары звезд будет двигаться синхронно в противофазе с планетой. И хотя отклонения орбит звезд от их синхронных аналогов малы (что видно из табл. 3 по пересекающимся областям оценок начальных периодов уже в пределах 1σ), эффект квазисинхронности орбит звезд все же проявляет себя и отражен в непересекающихся оценках (даже в пределах 3σ) отношений периодов в табл. 2.

Таким образом, для возмущенных орбит звезд появятся вековые движения узлов, причем периоды движения не будут одинаковыми (синхронными). Но одновременно вековую прецессию узла получит и орбита самой планеты, причем направления движения узлов у звезд и планеты будут совпадать.

Чтобы разобраться в том, почему период прецессии узла планеты T_p^0 находится в середине неравенств (37), введем понятие среднего кольца

Гаусса, которое составляется для колец звездной пары в синхронной конфигурации (напомним: речь идет о модели, в которой возмущаемые планетой орбиты звезд рассматриваются на начальный момент времени в состоянии синхронного орбитального движения). Тогда появившуюся из-за возмущений прецессию плоскости орбиты планеты можно представить как следствие взаимодействия кольца Гаусса планеты с указанным средним кольцом Гаусса, созданного двумя кольцами звезд в синхронной конфигурации. Взаимодействие кольца планеты со средним кольцом Гаусса звезд и приводит к тому, что период прецессии узла орбиты планеты T_p^0 будет больше наименьшего T_2^0 , и меньше наибольшего T_1^0 периодов прецессии колец звезд, как это имеет место в неравенствах (37).

6. РЕЗУЛЬТАТЫ И ОБСУЖДЕНИЕ

В первой части этой работы изучается прецессия пробных орбит в циркумбинарных системах, состоящих из двойной звезды и внешней экзопланеты. Следует подчеркнуть актуальность задач по исследованию пробных орбит в экзосистемах. Действительно, на современном этапе уверенных прямых наблюдений планетных систем у других звезд пока нет, и в этой ситуации исследование пробных орбит помогает лучше понять динамику экзосистем. О важности такой постановки задачи говорит и статья [6], где исследовалась устойчивость пробных орбит спутников экзопланет в циркумбинарных системах (причем сами спутники пока не обнаружены).

Для изучения прецессии пробных орбит был разработан новый метод, опирающийся на модель из трех R-тороидов. Этот метод применяется к экзосистемам Kepler-413 и Kepler-453. Для них была найдена ориентация угловых моментов звездной пары L_{12} и экзопланеты L_p относительно плоскости Лапласа, вычислены отношение

$\gamma = L_{12}/L_p$ и зональные гармоники внешних гравитационных потенциала трех R-тороидов. Используя найденное в [1] выражение взаимной энергии тороида и кольца Гаусса, мы вывели уравнения для частот апсидальной и нодальной прецессии пробных орбит. Анализ решений этих уравнений показал, что в рассматриваемых системах основной вклад в прецессию орбит вносят R-тороиды звездной пары.

Во второй части работы изучается эволюция орбит звезд и планеты самой циркумбинарной системы. Для решения этой задачи применяется разработанный в [11] метод взаимодействующих колец Гаусса. Важное значение здесь имеет вывод формулы для взаимной энергии колец в системе координат, где главной является плоскость Лапласа. С помощью взаимной энергии колец было получено уравнение для частоты прецессии линии узлов каждого кольца Гаусса. Решение этого уравнения позволило получить новую информацию об экзосистемах. Например, для системы Kepler-413 мы не только уточнили данный в [8] период нодальной прецессии орбиты планеты $T_p = 11$ лет (у нас $T_p^0 = 11.49 \pm 0.28$ лет), но и нашли неизвестные ранее периоды нодальной прецессии орбит центральной пары звезд $T_1^0 = 11.63 \pm 0.28$ лет, $T_2^0 = 11.39 \pm 0.28$ лет. Для экзосистемы Kepler-453 впервые были найдены все три периода прецессии узла: $T_1^0 = 112 \pm 2$ (112 ± 2) лет, $T_2^0 = 104 \pm 2$ (104 ± 2) лет, $T_p^0 = 105 \pm 2$ (106 ± 2) лет.

В данной работе мы обратили внимание на тонкий эффект влияния планеты на нарушение резонанса 1 : 1 периодов нодальной прецессии у пары звезд. Если при построении плоскости Лапласа пренебречь малым влиянием кольца Гаусса планеты, то вместо (37) выполнялись бы строгие равенства $T_1^0 = T_2^0 = 0$ и прецессия узлов отсутствовала. Это и понятно: без возмущений от планеты обе орбиты звезд лежали бы строго в одной плоскости, и движение по ним происходило синхронно с резонансом 1 : 1. Но с учетом гравитационного влияния циркумбинарной планеты картина изменится: центр масс пары звезд немного сместится относительно барицентра системы трех тел и будет двигаться синхронно в противофазе с планетой. При этом появятся малые по-

правки к элементам невозмущенных орбит звезд, причем эти элементы будут зависеть от времени. Одновременно вековую прецессию узла получит и орбита самой планеты, причем направления движения узлов у звезд и планеты будут совпадать.

Для прояснения ситуации с влиянием планеты на движение звезд полезно ввести понятие среднего кольца Гаусса для звездной пары; это среднее кольцо создается из пары звездных колец Гаусса в синхронной конфигурации и позволяет выявить тонкий эффект влияния планеты на нарушение резонанса 1 : 1 в периодах нодальной прецессии звезд. Таким образом, прецессию плоскости орбиты планеты можно рассматривать как результат взаимодействия кольца Гаусса этой планеты с указанным средним кольцом для пары звезд. Именно взаимодействие кольца планеты со средним кольцом Гаусса звезд позволяет объяснить неравенства (37).

БЛАГОДАРНОСТИ

Авторы признательны Междисциплинарной научно-образовательной школе МГУ “Фундаментальные и прикладные космические исследования”.

СПИСОК ЛИТЕРАТУРЫ

1. *Б. П. Кондратьев, В. С. Корноухов*, Астрон. журн. **98**, 434 (2021).
2. *St. Raetz, T. O. B. Schmidt, S. Czesla, T. Klocová, et al.*, Monthly Not. Roy. Astron. Soc. **460**, 2834 (2016).
3. *J. W. Barnes, J. C. van Eyken, B. K. Jackson, D. R. Ciardi, J. J. Fortney*, Astrophys. J. **774**, id. 53 (2013).
4. *Ch. Chen, A. Franchini, S. H. Lubow, R. G. Martin*, Monthly Not. Roy. Astron. Soc. **490**, 5634 (2019).
5. *B. C. Bromley, S. J. Kenyon*, Astron. J. **161**, id. 25 (2021).
6. *A. S. Hamers, M. X. Cai, J. Roa, N. Leigh*, Monthly Not. Roy. Astron. Soc. **480**, 3800 (2018).
7. *B. P. Kondratyev*, Solar System Research **46**, 352 (2012).
8. *V. B. Kostov, P. R. McCullough, J. A. Carter, M. Deleuil, et al.*, Astrophys. J. **784**, 14 (2014).
9. *Y. Judkovsky, A. Ofir, O. Aharonson*, Astron. J. **160**, id. 195 (2020).
10. *W. F. Welsh, J. A. Orosz, D. R. Short, W. D. Cochran, et al.*, Astrophys. J. **809**, id. 26 (2015).
11. *Б. П. Кондратьев, В. С. Корноухов*, Астрон. журн. **97**, 408 (2020).